



实验二：信号参量估计与回归

刘昱杉 2024214103

2024 年 11 月 22 日

注：本实验报告为单人独立完成
关于本实验报告对应的源码及实验环境，详见 `code` 目录下 `readme`

未知幅度（单参量）估值（一）

1. 实验原理

假设观测信号模型为：

$$z_i = A + n_i$$

其中：

- A 为未知的幅度参数。
- n_i 为均值为 0、方差为 σ^2 的白高斯噪声。

最大似然估计方法通过最大化观测数据的似然函数来估计未知参数 A 。对于 N 次独立采样，似然函数为：

$$L(A) = \prod_{i=1}^N \frac{1}{\sqrt{2\pi\sigma^2}} \exp\left(-\frac{(z_i - A)^2}{2\sigma^2}\right)$$

取对数似然函数并对 A 求导，得到最大似然估计量为样本均值：

$$\hat{A} = \frac{1}{N} \sum_{i=1}^N z_i$$

- 无偏性：

$$E[\hat{A}] = A$$

- 方差：

$$\text{Var}(\hat{A}) = \frac{\sigma^2}{N}$$

2. 实验过程与结果

实验分为三部分：

- 实验 1：** 采样次数 $N = 10$ ，噪声方差 $\sigma^2 = 0.5$ 。
- 实验 2：** 采样次数 $N = 100$ ，噪声方差 $\sigma^2 = 0.5$ 。
- 实验 3：** 采样次数 $N = 100$ ，噪声方差 $\sigma^2 = 2.0$ 。

每部分均进行 10^4 次重复试验，记录每次试验的估计值 \hat{A} ，并计算其均值和方差，与理论值进行比较。

实验 1: $N = 10$, 噪声方差 $\sigma^2 = 0.5$

- 理论期望: $E[\hat{A}] = 1.0000$
- 实际期望: $E[\hat{A}] = 0.9973$
- 理论方差: $\text{Var}(\hat{A}) = 0.025$
- 实际方差: $\text{Var}(\hat{A}) = 0.025339$

实验 2: $N = 100$, 噪声方差 $\sigma^2 = 0.5$

- 理论期望: $E[\hat{A}] = 1.0000$
- 实际期望: $E[\hat{A}] = 1.0003$
- 理论方差: $\text{Var}(\hat{A}) = 0.0025$
- 实际方差: $\text{Var}(\hat{A}) = 0.002495$

实验 3: $N = 100$, 噪声方差 $\sigma^2 = 2.0$

- 理论期望: $E[\hat{A}] = 1.0000$
- 实际期望: $E[\hat{A}] = 0.9977$
- 理论方差: $\text{Var}(\hat{A}) = 0.04$
- 实际方差: $\text{Var}(\hat{A}) = 0.040309$

同时, 绘制每个实验中 \hat{A} 的估计值的直方图, 并叠加理论的正态分布曲线, 以验证估计量的分布特性。

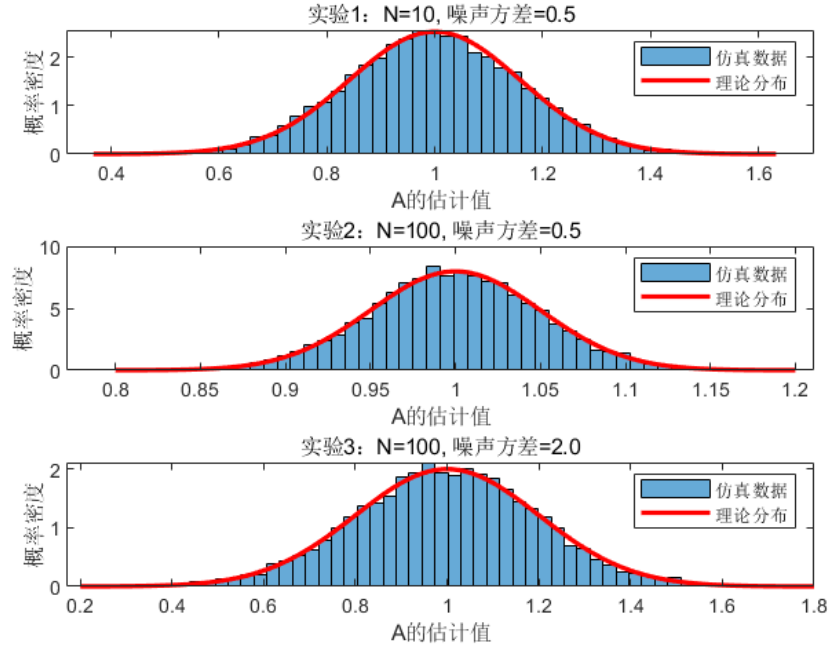


图 1: 三次实验的幅度估计直方图

3. 实验结果分析

- **无偏性**: 所有实验中, 实际期望 $E[\hat{A}]$ 均接近理论期望 $A = 1$, 验证了最大似然估计量的无偏性。轻微的偏差可能源于随机数生成的误差或仿真次数的有限性。
- **方差**: 实验结果中, 实际方差与理论方差的差异较小, 误差不超过 1.5%, 这验证了最大似然估计量的有效性。随着采样次数 N 的增加, 估计量的方差逐渐减小, 估计精度提升。

未知幅度 (单参量) 估值 (二)

1. 实验原理

假设观测信号模型为:

$$z_i = A + n_i$$

其中:

- A 是均值为 0, 方差为 σ_A^2 的高斯随机变量, 代表未知的幅度参数。
- n_i 是均值为 0, 方差为 σ_n^2 的白高斯噪声。

在本实验中, 分别选取最大似然估计 (Maximum Likelihood Estimator, MLE) 和最大后验估计 (Maximum A Posteriori Estimator) 作为幅度参数 A 的估计量。

最大似然估计

对于 N 次独立采样，观测数据为 $\mathbf{z} = [z_1, z_2, \dots, z_N]$ 。由于噪声 n_i 独立同分布，观测值 z_i 的条件概率密度函数为：

$$p(z_i|A) = \frac{1}{\sqrt{2\pi\sigma_n^2}} \exp\left(-\frac{(z_i - A)^2}{2\sigma_n^2}\right)$$

因此，整个观测数据 \mathbf{z} 的似然函数为：

$$L(A|\mathbf{z}) = \prod_{i=1}^N p(z_i|A) = \left(\frac{1}{\sqrt{2\pi\sigma_n^2}}\right)^N \exp\left(-\frac{1}{2\sigma_n^2} \sum_{i=1}^N (z_i - A)^2\right)$$

为了简化计算，我们对似然函数取自然对数，得到对数似然函数：

$$\ln L(A|\mathbf{z}) = -\frac{N}{2} \ln(2\pi\sigma_n^2) - \frac{1}{2\sigma_n^2} \sum_{i=1}^N (z_i - A)^2$$

为了找到 A 的最大似然估计量 \hat{A}_{MLE} ，我们对 $\ln L(A|\mathbf{z})$ 关于 A 求导，并令导数等于零：

$$\begin{aligned} \frac{d}{dA} \ln L(A|\mathbf{z}) &= -\frac{1}{2\sigma_n^2} \cdot 2 \sum_{i=1}^N (z_i - A)(-1) = \frac{1}{\sigma_n^2} \sum_{i=1}^N (z_i - A) = 0 \\ \sum_{i=1}^N (z_i - A) &= 0 \\ \sum_{i=1}^N z_i - NA &= 0 \\ A &= \frac{1}{N} \sum_{i=1}^N z_i \end{aligned}$$

因此，最大似然估计量为样本均值：

$$\hat{A}_{\text{MLE}} = \frac{1}{N} \sum_{i=1}^N z_i$$

无偏性 验证 \hat{A}_{MLE} 的无偏性：

$$E[\hat{A}_{\text{MLE}}] = E\left[\frac{1}{N} \sum_{i=1}^N z_i\right] = \frac{1}{N} \sum_{i=1}^N E[z_i]$$

由于 $z_i = A + n_i$ ，且 $E[A] = A$ (A 被视为固定常数)， $E[n_i] = 0$ ，则：

$$E[z_i] = A + E[n_i] = A$$

因此：

$$E[\hat{A}_{\text{MLE}}] = \frac{1}{N} \sum_{i=1}^N A = \frac{NA}{N} = A$$

即 \hat{A}_{MLE} 是无偏估计量。

方差 \hat{A}_{MLE} 的方差的计算如下：

$$\text{Var}(\hat{A}_{\text{MLE}}) = \text{Var}\left(\frac{1}{N} \sum_{i=1}^N z_i\right) = \frac{1}{N^2} \sum_{i=1}^N \text{Var}(z_i) = \frac{1}{N^2} \sum_{i=1}^N \text{Var}(A + n_i)$$

由于 A 是高斯分布，且 n_i 独立同分布，因此有：

$$\text{Var}(\hat{A}_{\text{MLE}}) = \sigma_A^2 + \frac{1}{N^2} \cdot N \sigma_n^2 = \sigma_A^2 + \frac{\sigma_n^2}{N}$$

最大后验估计

最大后验估计（MAP）方法通过最大化后验概率 $p(A|\mathbf{z})$ 来估计未知参数 A 。根据贝叶斯定理，后验概率 $p(A|\mathbf{z})$ 与似然函数 $p(\mathbf{z}|A)$ 及先验分布 $p(A)$ 成正比：

$$p(A|\mathbf{z}) = \frac{p(\mathbf{z}|A)p(A)}{p(\mathbf{z})}$$

观测数据 $\mathbf{z} = [z_1, z_2, \dots, z_N]$ 的似然函数为：

$$p(\mathbf{z}|A) = \prod_{i=1}^N p(z_i|A) = \prod_{i=1}^N \frac{1}{\sqrt{2\pi\sigma_n^2}} \exp\left(-\frac{(z_i - A)^2}{2\sigma_n^2}\right)$$

取对数似然函数：

$$\ln p(\mathbf{z}|A) = -\frac{N}{2} \ln(2\pi\sigma_n^2) - \frac{1}{2\sigma_n^2} \sum_{i=1}^N (z_i - A)^2$$

假设先验分布 A 为高斯分布：

$$A \sim \mathcal{N}(0, \sigma_A^2)$$

其概率密度函数为：

$$p(A) = \frac{1}{\sqrt{2\pi\sigma_A^2}} \exp\left(-\frac{A^2}{2\sigma_A^2}\right)$$

根据贝叶斯定理，后验分布 $p(A|\mathbf{z})$ 为：

$$p(A|\mathbf{z}) \propto p(\mathbf{z}|A)p(A)$$

将似然函数和先验分布代入：

$$p(A|\mathbf{z}) \propto \exp\left(-\frac{1}{2\sigma_n^2} \sum_{i=1}^N (z_i - A)^2\right) \exp\left(-\frac{A^2}{2\sigma_A^2}\right)$$

对指数项进行合并：

$$p(A|\mathbf{z}) \propto \exp\left(-\frac{1}{2\sigma_n^2} \sum_{i=1}^N (z_i^2 - 2z_i A + A^2) - \frac{A^2}{2\sigma_A^2}\right)$$

整理指数项：

$$\begin{aligned} & -\frac{1}{2\sigma_n^2} \left(\sum_{i=1}^N z_i^2 - 2A \sum_{i=1}^N z_i + NA^2 \right) - \frac{A^2}{2\sigma_A^2} \\ & = -\frac{1}{2\sigma_n^2} \sum_{i=1}^N z_i^2 + \frac{A}{\sigma_n^2} \sum_{i=1}^N z_i - \frac{A^2}{2\sigma_n^2} \left(N + \frac{\sigma_n^2}{\sigma_A^2} \right) \end{aligned}$$

忽略与 A 无关的项，得到：

$$p(A|\mathbf{z}) \propto \exp \left(\frac{A}{\sigma_n^2} \sum_{i=1}^N z_i - \frac{A^2}{2} \left(\frac{N}{\sigma_n^2} + \frac{1}{\sigma_A^2} \right) \right)$$

这表明后验分布 $p(A|\mathbf{z})$ 仍为高斯分布，其均值 μ_p 和方差 σ_p^2 为：

$$\begin{aligned} \mu_p &= \frac{\sigma_A^2}{\sigma_A^2 + \frac{\sigma_n^2}{N}} \cdot \frac{1}{N} \sum_{i=1}^N z_i \\ \sigma_p^2 &= \frac{\sigma_A^4}{\sigma_A^2 N + \sigma_n^2} \end{aligned}$$

因此，最大后验估计量 \hat{A}_{MAP} 为后验分布的均值：

$$\hat{A}_{\text{MAP}} = \mu_p = \frac{\sigma_A^2}{\sigma_A^2 + \frac{\sigma_n^2}{N}} \cdot \frac{1}{N} \sum_{i=1}^N z_i = c \cdot \hat{A}_1$$

其中， $\hat{A}_1 = \frac{1}{N} \sum_{i=1}^N z_i$ 为样本均值估计量，缩放因子 c 定义为：

$$c = \frac{\sigma_A^2}{\sigma_A^2 + \frac{\sigma_n^2}{N}}$$

无偏性 首先验证 \hat{A}_{MAP} 的无偏性，即计算其期望值：

$$E[\hat{A}_{\text{MAP}}] = E[c \cdot \hat{A}_1] = c \cdot E[\hat{A}_1]$$

由于 \hat{A}_1 为样本均值，且 A 和 n_i 均为零均值随机变量，故：

$$E[\hat{A}_1] = E\left[\frac{1}{N} \sum_{i=1}^N z_i\right] = \frac{1}{N} \sum_{i=1}^N E[z_i] = \frac{1}{N} \cdot N \cdot 0 = 0$$

因此：

$$E[\hat{A}_{\text{MAP}}] = c \cdot 0 = 0$$

即 \hat{A}_{MAP} 是无偏估计量。

方差 计算 \hat{A}_{MAP} 的方差:

$$\text{Var}(\hat{A}_{\text{MAP}}) = \text{Var}(c \cdot \hat{A}_1) = c^2 \cdot \text{Var}(\hat{A}_1)$$

由于 \hat{A}_1 为样本均值, 且 A 和 n_i 独立同分布, 方差为:

$$\text{Var}(\hat{A}_1) = \sigma_A^2 + \frac{\sigma_n^2}{N}$$

因此:

$$\text{Var}(\hat{A}_{\text{MAP}}) = \left(\frac{\sigma_A^2}{\sigma_A^2 + \frac{\sigma_n^2}{N}} \right)^2 \cdot \left(\sigma_A^2 + \frac{\sigma_n^2}{N} \right) = \frac{\sigma_A^4}{\sigma_A^2 N + \sigma_n^2}$$

2. 实验过程与结果

实验分别进行最大似然估值和最大后验估值, 主要参数如下:

- 采样次数 $N = 1000$, 幅度方差 $\sigma_A^2 = 0.16$, 噪声方差 $\sigma_n^2 = 0.25$

分别使用最大似然估值和最大后验估值, 进行 10^4 次重复试验, 记录每次试验的估计值 \hat{A} , 并计算其均值和方差, 与理论值进行比较。

最大似然估值结果

- 理论期望: $E[\hat{A}] = 0.0000$
- 实际期望: $E[\hat{A}] = 0.0016$
- 理论方差: $\text{Var}(\hat{A}) = 0.160250$
- 实际方差: $\text{Var}(\hat{A}) = 0.159057$

最大后验估值结果

- 理论期望: $E[\hat{A}] = 0.0000$
- 实际期望: $E[\hat{A}] = 0.0016$
- 理论方差: $\text{Var}(\hat{A}) = 0.159750$
- 实际方差: $\text{Var}(\hat{A}) = 0.158561$

同时，绘制每个实验中 \hat{A} 的估计值的直方图，并叠加理论的正态分布曲线，以验证估计量的分布特性。

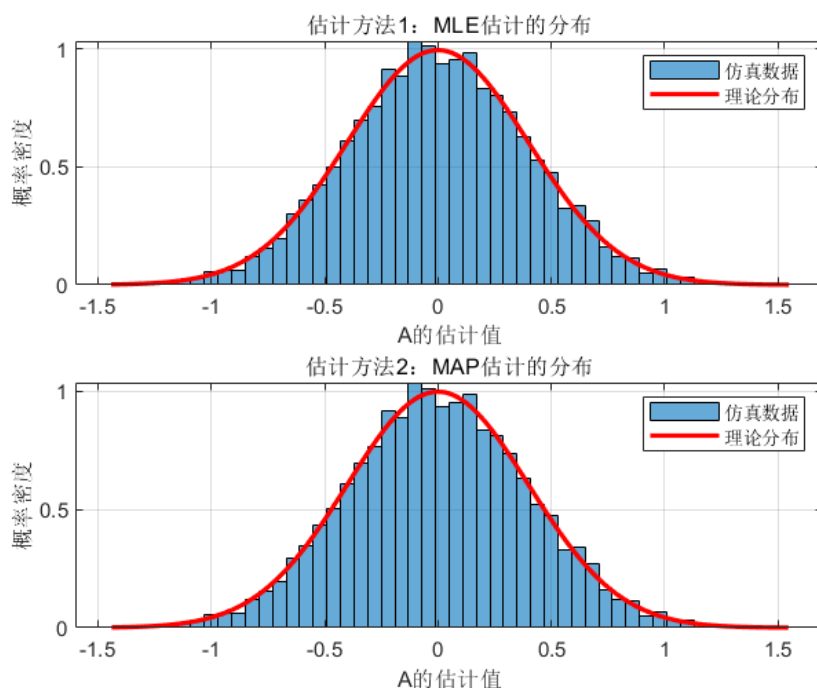


图 2: 两种估值的幅度估计直方图

3. 实验结果分析

•

三、未知幅度（单参量）估值（三）

1. 实验原理

假设观测信号模型为：

$$z_i = A \cos(\omega t) + n$$

其中幅度和噪声与（二）中相同。本实验采用与（二）相同的最大似然估计和最大后验估计方法，分别估计幅度参数 A 。估值公式分别如下：

$$\hat{A}_{MLE} = \frac{1}{N} \sum_{i=1}^N z_i$$

$$\hat{A}_{MAP} = \frac{\sigma_A^2}{\sigma_A^2 + \frac{\sigma_n^2}{N}} \cdot \frac{1}{N} \sum_{i=1}^N z_i$$

2. 实验内容与结果

- 频率 $\omega = 100\text{Hz}$, 采样次数 $N = 1000$, 幅度方差 $\sigma_A^2 = 0.16$, 噪声方差 $\sigma_n^2 = 0.25$

分别使用最大似然估值和最大后验估值, 进行 10^4 次重复试验, 记录每次试验的估计值 \hat{A} , 并计算其均值和方差, 与理论值进行比较。

最大似然估值结果

- 理论期望: $E[\hat{A}] = 0.0000$
- 实际期望: $E[\hat{A}] = 0.0029$
- 理论方差: $\text{Var}(\hat{A}) = 0.160250$
- 实际方差: $\text{Var}(\hat{A}) = 0.408594$

最大后验估值结果

- 理论期望: $E[\hat{A}] = 0.0000$
- 实际期望: $E[\hat{A}] = 0.0029$
- 理论方差: $\text{Var}(\hat{A}) = 0.159750$
- 实际方差: $\text{Var}(\hat{A}) = 0.407320$

同时, 绘制每个实验中 \hat{A} 的估计值的直方图, 并叠加理论的正态分布曲线, 以验证估计量的分布特性。

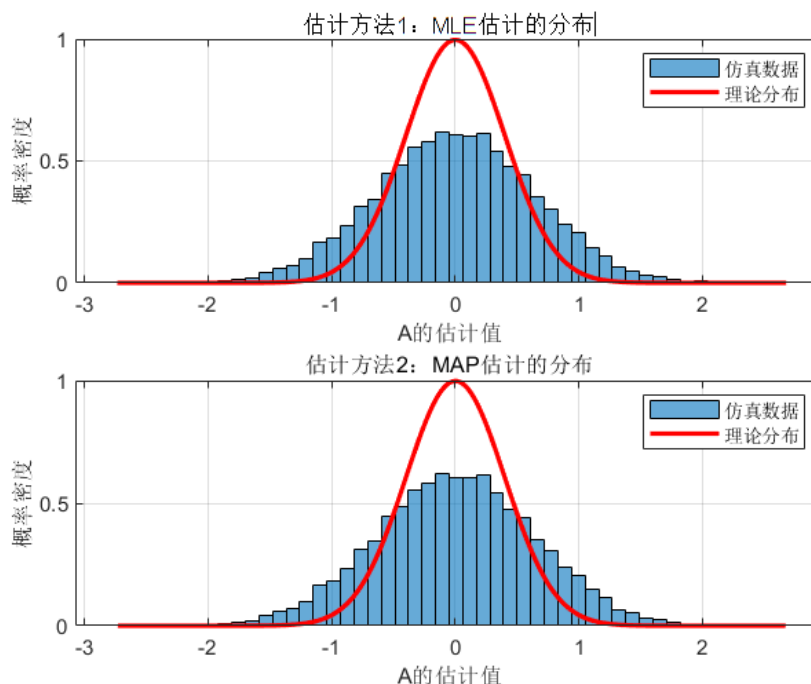


图 3: 两种估值的幅度估计直方图 (正弦信号)

3. 实验结果分析

在信号模型 $z_i = A \cos(\omega t) + n$ 中, 由于余弦函数 $\cos(\omega t)$ 的周期性和非零点放大效应, 导致在 $\cos(\omega t)$ 靠近零时, 噪声 n 被放大, 进而影响了估计值的精度。特别是在计算样本均值或 MAP 估计时, 这种效应会显著增加估计值的方差。

波士顿房价预测实验

1. 实验原理

波士顿房价预测是机器学习领域经典的回归预测问题。本实验中, 通过使用树回归回归算法进行房价趋势分析。

2. 实验内容与结果

实验主要进行流程如下:

数据准备 数据集包含 1460 个波士顿房屋样本, 79 个关于描述房屋的特征。根据这些数据特征预测房屋的最终售价, 即预测测试集中每个房屋 ID 对应的 SalePrice 字段的数值。数据集中可能包含部分缺失、类型不对应, 以及值异常的情况, 进行数据预处理。

经偏度和峰度计算并 \ln 转化后, 'SalePrice' 概率分布图如下, 可以看到大致服从正态分布。

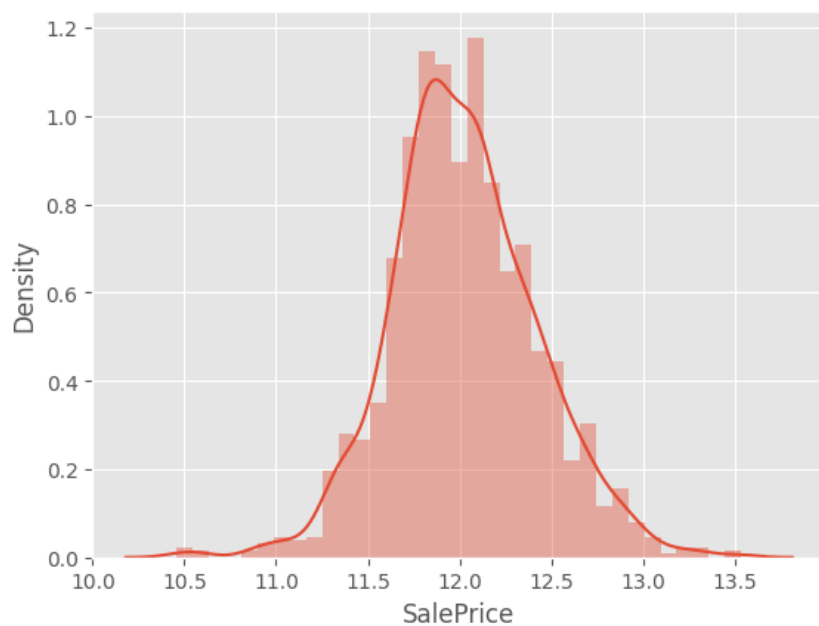


图 4: SalePrice 分布情况

同时, 绘制 qq 图如下, 用于体现 SalePrice 服从正态分布的情况, 可以看到蓝色部分接近直线, 正态性明显。

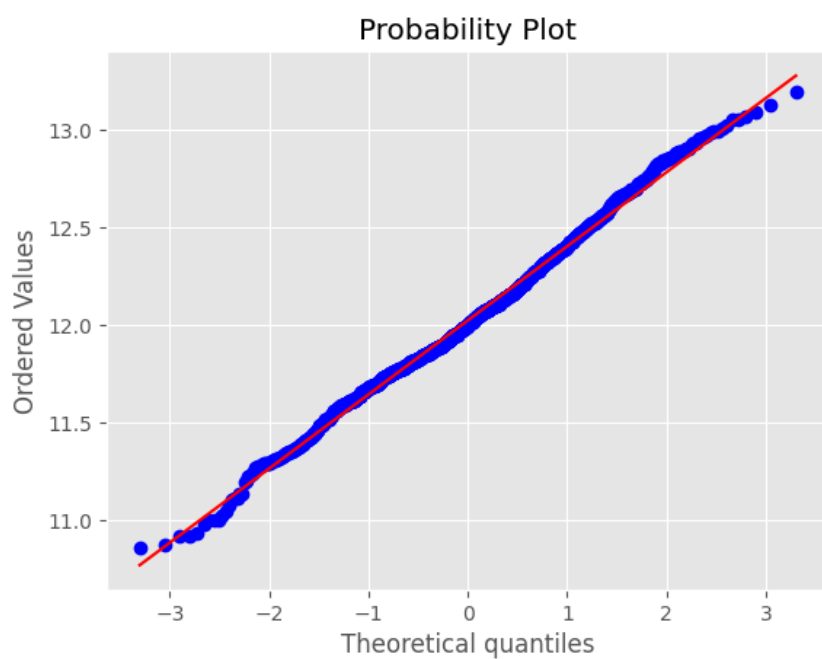


图 5: SalePrice qq 图

特征工程 主要包含特征选取、构建新的特征、特征融合的步骤。

首先通过相关性分析，通过指标筛选重要特征，再对离散特征进行 one-hot 编码，并绘制热力图如下。

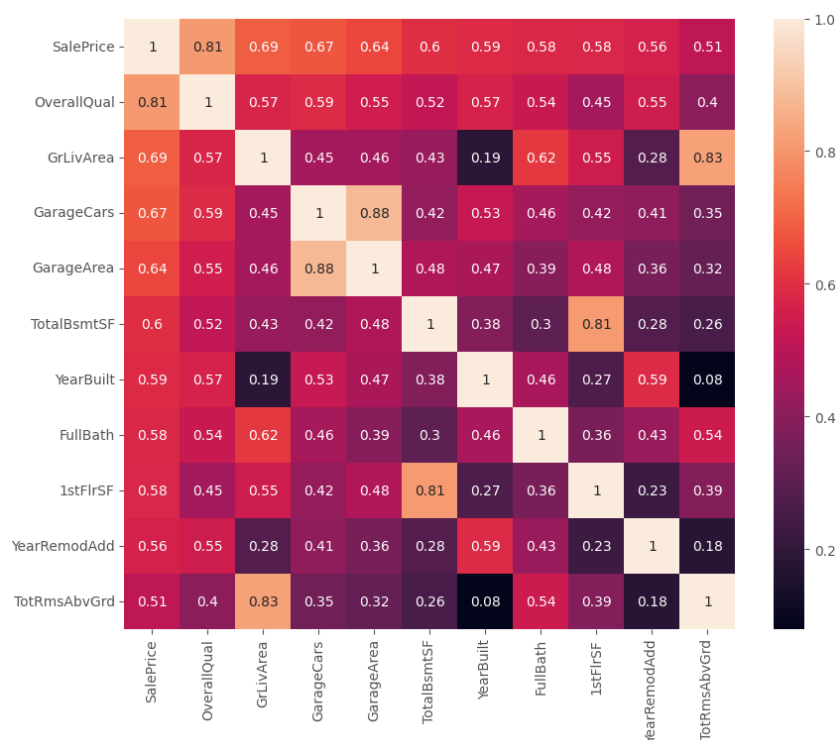


图 6: 特征相关性热力图

对面积特征进行分析：通过观察异常值进行筛选，并验证是否服从正态分布。对于偏度大于 0.75 的通过 $\ln(x+1)$ 转换，使其接近正态分布效果。同时，通过绘制直方图，查看不同月份房子销售量，作为非线性特征，如图所示。

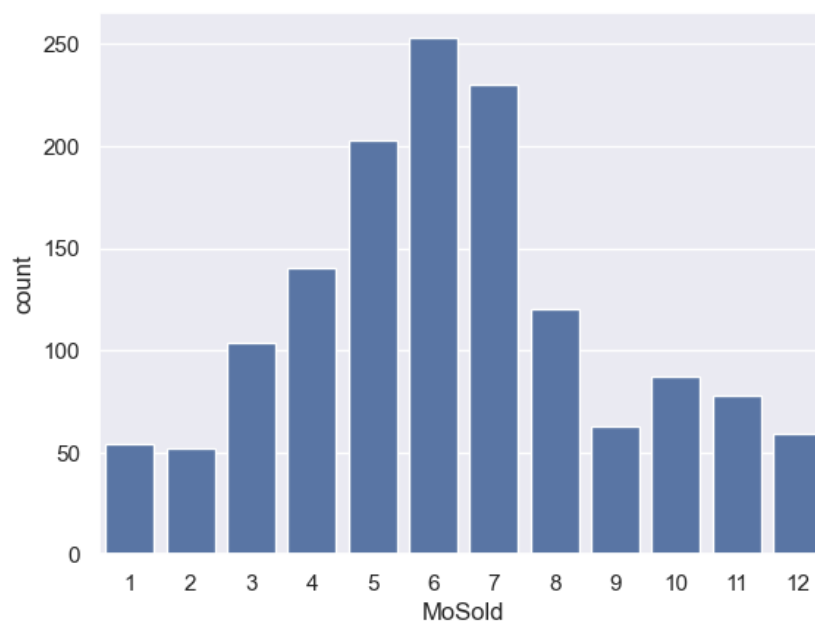


图 7: 不同月份房子销售量

通过方差分析选取靠前的 25 个重要特征，进行特征融合，并分别绘制 Total Area 和 Total House 回归图如下，用于查看构建的面积特征效果。同时对其他特征也进行特征融合，用以减少后续数据维度，提高模型训练速度。

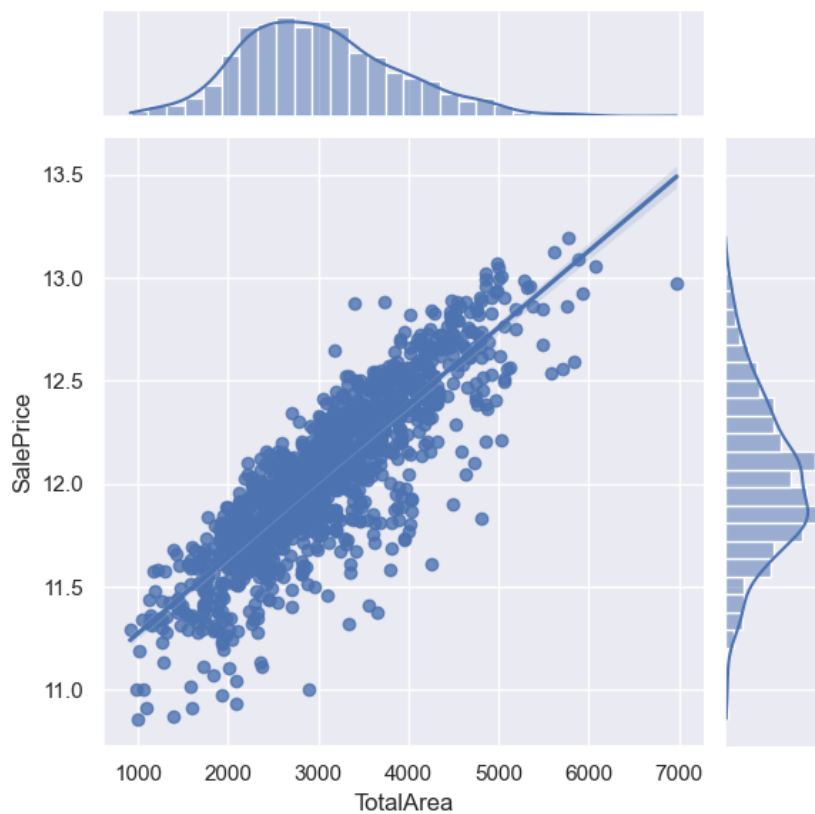


图 8: Total Area 回归图

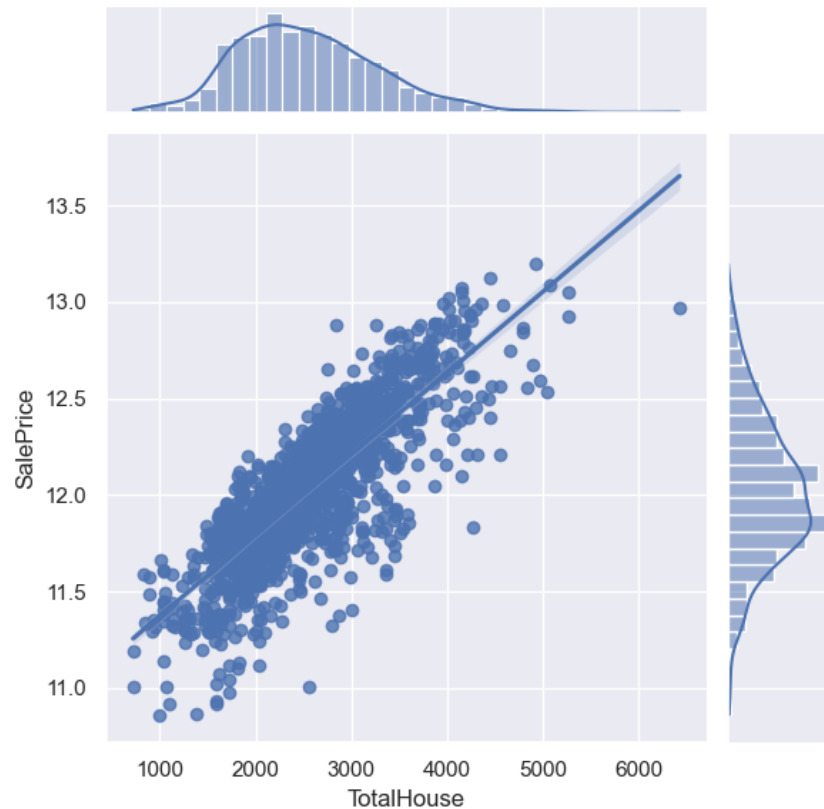


图 9: Total House 回归图

模型训练 首先将数据进行标准化，将数据顺序打乱，进行 5 折交叉验证，将均方根误差作为评判标准，采用 GBDT 算法构建树回归算法模型，进行调参，使根均方误差最小化。

使用 GBDT 算法构建树回归算法模型如下：

```
1 GBoost = GradientBoostingRegressor(  
2     n_estimators=3000, learning_rate=0.005,  
3     max_depth=4, max_features='sqrt',  
4     min_samples_leaf=15, min_samples_split=10,  
5     loss='huber', random_state =5)
```

并按照 80% 训练集，20% 测试集进行拟合效果测试，结果如下：

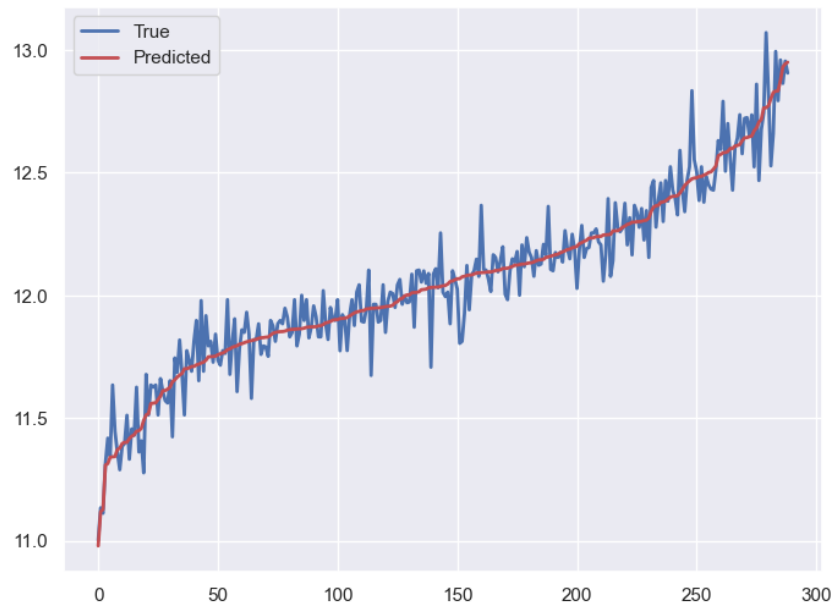


图 10: GBDT 算法拟合效果

使用 Xgboost 算法构建回归算法模型如下:

```
1 Xgboost = xgb.XGBRegressor(  
2     colsample_bytree=0.36, gamma=0.042,  
3     learning_rate=0.05, max_depth=3,  
4     min_child_weight=1.88, n_estimators=2200,  
5     reg_alpha=0.4640, reg_lambda=0.8571,  
6     subsample=0.5213, silent=1,  
7     random_state = 1, nthread = -1)
```

与上面相同, 对拟合效果进行测试, 结果如下:

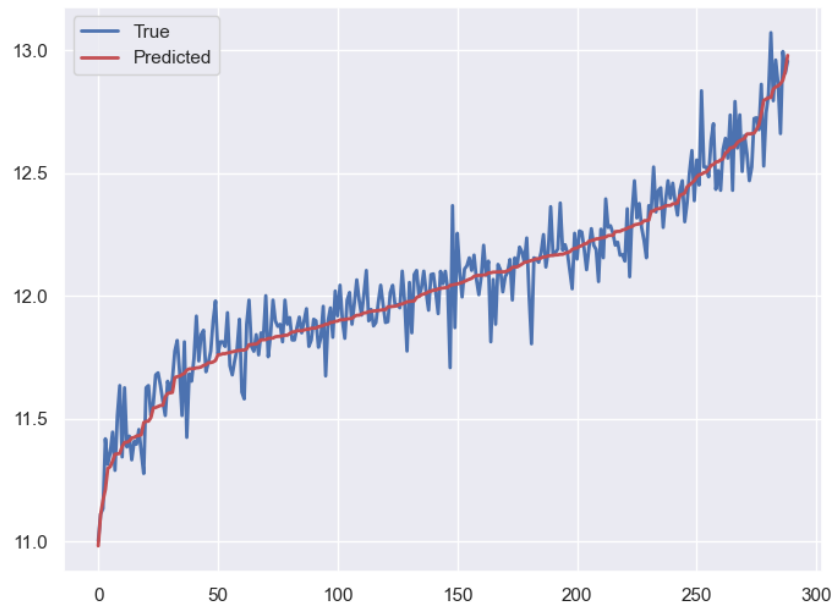


图 11: Xgboost 算法拟合效果

3. 实验结果分析

参量估值问题和回归预测问题有着以下相同点和不同点：

共同点

- 两者都以估计目标变量为核心，强调误差的最小化；
- 模型性能均受噪声、样本数量和数据质量的影响；
- 在数据预处理和优化过程中，特征归一化或噪声过滤是常见手段。

不同点

- **目标维度：**参量估值问题通常处理单一或低维参数，而回归预测问题处理高维特征与目标变量的映射关系；
- **方法复杂度：**参量估值问题通常依赖解析解或优化算法，而回归预测问题需要更复杂的机器学习算法；
- **结果解释：**参量估值问题侧重数学意义上的精确性（如无偏性、最小方差），而回归预测问题更注重预测精度和泛化能力。

参考文献

- [1] T.A. Schonhoff & A.A. Giordano, *Detection and Estimation: Theory and its Applications*. Pearson Education, Inc., 2007. (信号检测与估计——理论与应用, 关欣等译, 电子工业出版社, 2012 年) .
- [2] M.D. Srinath, P.K. Rajasekaran & R. Viswanathan, *Introduction to Statistical Signal Processing with Applications*. Prentice Hall, 1996.
- [3] Steven M. Kay, *Fundamentals of Statistical Signal Processing, Volume I: Estimation Theory* (©1993) & *Volume II: Detection Theory* (©1998). Pearson Education. (《统计信号处理基础: 估计与检测理论 (卷 I、卷 II 合集)》, 罗鹏飞等译, 电子工业出版社, 2023 年) .
- [4] James V. Candy, *Bayesian Signal Processing: Classical, Modern, and Particle Filtering Methods* (2nd ed.). John Wiley & Sons, Inc., 2016. (宗华等译, 哈尔滨工业大学出版社, 2023 年) .
- [5] Harry L. Van Trees, Kristine L. Bell, with Zhi Tian, *Detection Estimation and Modulation Theory, Part I: Detection, Estimation, and Filtering Theory* (2nd ed.). John Wiley & Sons, Inc., 2013.
- [6] ChatGPT by OpenAI (2024). Personal communication and consultation for generating LaTeX formatting, experimental methodology, and model evaluation strategies. OpenAI, <https://www.openai.com>.